

ผลของการแซ่น้ำที่อุณหภูมิแตกต่างกันต่อเสถียรภาพเชิงมิติ และค่าแรงดัดของข้าวของฐานฟันเทียมเรซินอะคริลิกชนิดปั๊มตัวด้วยความร้อน

จรัญชัย ศรีหัตถกุจ*

บทคัดย่อ

วัตถุประสงค์: เพื่อศึกษาผลของการแซ่น้ำที่อุณหภูมิแตกต่างกันที่มีต่อเสถียรภาพเชิงมิติ และค่าแรงดัดของข้าวของฐานฟันเทียมเรซินอะคริลิกชนิดปั๊มตัวด้วยความร้อน

วัสดุอุปกรณ์และวิธีการ: เตรียมชิ้นงานทั้งหมด 45 ชิ้นให้มีรูปร่างลีสเลี้ยมผืนพ้าขนาด $10 \times 65 \times 3.5$ มิลลิเมตร โดยแบ่งกลุ่มการทดลองเป็น 3 กลุ่มกลุ่มละ 15 ชิ้น แซ่น้ำที่อุณหภูมิคงที่ เป็นระยะเวลา 30 วัน ที่ อุณหภูมิ 5, 37 และ 57 องศาเซลเซียส ตามลำดับ วัดค่าการเปลี่ยนแปลงเชิงมิติในรูป像个เตอร์รัฐทางของอะคริลิกทั้งก่อนและหลังแซ่น้ำ ด้วยกล้องจุลทรรศน์ชนิดสเตอโรไมโครสโคป (Stereomicroscope) จากนั้นจึงนำชิ้นอะคริลิกทุกชิ้นมาทดสอบค่าแรงดัดของข้าวด้วยเครื่องทดสอบสากลและใช้สติวิเคราะห์ความแปรปรวนแบบทางเดียวที่ระดับความเชื่อมั่นร้อยละ 95

ผลการทดลอง: ค่าเฉลี่ยและส่วนเบี่ยงเบนมาตรฐานของการเปลี่ยนแปลงเชิงมิติของอะคริลิกทั้งสามกลุ่ม คือ 0.122 ± 0.018 , 0.087 ± 0.022 และ 0.062 ± 0.016 มิลลิเมตร ตามลำดับ เมื่อวิเคราะห์ทางสถิติด้วยสถิติวิเคราะห์ความแปรปรวนทางเดียวพบว่า แต่ละกลุ่มมีความแตกต่างกันอย่างมีนัยสำคัญทางสถิติ และผลของค่าเฉลี่ยและส่วนเบี่ยงเบนมาตรฐานของค่าแรงดัดของข้าวทั้งสามกลุ่มคือ 140.545 ± 12.273 , 147.543 ± 16.626 และ 152.100 ± 12.936 นิวตัน ตามลำดับ เมื่อวิเคราะห์ทางสถิติด้วยสถิติวิเคราะห์ความแปรปรวนทางเดียวพบว่า ไม่มีความแตกต่างกันอย่างมีนัยสำคัญทางสถิติ

สรุปผล: การแซ่น้ำของอะคริลิกชนิดปั๊มตัวด้วยความร้อนที่อุณหภูมิคงที่ เป็นเวลา 30 วัน ที่ อุณหภูมิ 5, 37 และ 57 องศาเซลเซียส มีความแตกต่างกันอย่างมีนัยสำคัญทางสถิติในแต่ละช่วงของเสถียรภาพเชิงมิติ แต่ไม่มีความแตกต่างกันอย่างมีนัยสำคัญทางสถิติในแต่ละช่วงของค่าแรงดัดของข้าว

คำสำคัญ: เรซินอะคริลิกชนิดปั๊มตัวด้วยความร้อน แรงดัดของข้าว เสถียรภาพเชิงมิติ อุณหภูมิ

*อาจารย์ มหาวิทยาลัยรังสิต คณะทันตแพทยศาสตร์ มหาวิทยาลัยรังสิต 52/347 ต.หลักหก อ.เมือง จ.ปทุมธานี 12000

Effect of Water Immersion at Different Temperature on Dimensional Stability and Flexural Strength of Heat-cured Acrylic Resin

Jirat Srihatajati*

Abstract

Objective: The effect of water immersion at different temperature on dimensional stability and flexural strength of heat-cured acrylic resin denture base.

Material and methods: Total number of 45 specimens were prepared in rectangular shape of size 10 x 65 x 3.5 millimeters. All specimens were divided equally into 3 groups, with a number of 15 specimens in a group. Each group of heat-cured acrylic resin specimens were immersed in water at constant temperature for 30 days at temperature 5, 37 and 57°C respectively. We measured dimensional change in vector of before and after water immersion with stereomicroscope. All specimens were then investigated for flexural strength with universal testing machine. The statistical analysis used for this study with one-way ANOVA at 95 % confidence level.

Results: The mean value and standard deviation of dimensional change of all groups were 0.122 ± 0.018 , 0.087 ± 0.022 and 0.062 ± 0.016 mm respectively. After statistical analysis, each group was found to have statistically significant difference. The mean value and standard deviation of flexural strength of all groups were 140.545 ± 12.273 , 147.543 ± 16.626 and 152.100 ± 12.936 N respectively. After statistical analysis, each group was found not to have statistically significant difference.

Conclusion: The water immersion of heat-cured acrylic resin at constant temperature for 30 days which were 5, 37 and 57°C was found to have a statistically significant difference in dimensional stability but not in flexural strength.

Keyword: Heat-cured acrylic resin, Flexural strength, Dimensional stability, Temperature

*Lecturer, Faculty of Dental Medicine, Rangsit University , 52/347 Muang-Ake, Phaholoyothin Rd., Lak-Hok, Muang, Pathumthani 12000 Thailand

บทนำ

เลสียรภาพเชิงมิติของฟันเทียมฐานอะคริลิก มีผลต่อความสามารถในการยึดอยู่ (retention) เลสียรภาพ (stability) และความแนบสนิท (adaptability) ของฟันเทียมกับเนื้อเยื่อในช่องปาก ถ้าฟันเทียมมีการหดหรือขยายตัวอาจส่งผลทำให้ฟันเทียมนั้นหลวมหาดไม่สามารถใส่ในช่องปากได้ [1,2] ซึ่งปัจจัยที่มีผลต่อเลสียรภาพเชิงมิติของฐานฟันเทียมอะคริลิก ได้แก่ กระบวนการผลิตทั้งจากอุณหภูมิ ระยะเวลาที่ใช้ในการบ่ม วิธีการขึ้นแบบ การหดตัวจากการเกิดพอลิเมอร์ (polymerization shrinkage) การหดตัวจากอุณหภูมิ (thermal shrinkage) [3,4] ลักษณะการเก็บฟันเทียม การหดตัวเนื่องจากสภาพแวดล้อม (dry shrinkage) [5] การดูดน้ำ ค่าความเป็นกรดเบส (pH) [6] ปริมาณมอนомнอร์ที่หลงเหลืออยู่ในขั้นงานอะคริลิก [7]

โดยปกติทันตแพทย์แนะนำให้ผู้ป่วยเก็บรักษาฟันเทียมโดยการแขวน เพื่อลดโอกาสเกิดการเปลี่ยนแปลง มิติและลดการหดตัว [8] เพราะมีงานวิจัยที่สนับสนุนว่า การเก็บฟันเทียมโดยไม่แขวน ก่อให้เกิดการหดตัวอย่างมากในสองสัปดาห์แรก และเกิดการเปลี่ยนแปลงเลสียรภาพเชิงมิติอย่างมีนัยสำคัญเมื่อเทียบกับการแขวน เนื่องจากเกิดการระเหยของน้ำที่กระจายอยู่ภายในโครงสร้างของพอลิเมอร์ [9] มีการศึกษาวัดเลสียรภาพเชิงมิติของฟันเทียมเมื่อทำการแขวน พบร่วมในหนึ่งเดือนแรกมีการเปลี่ยนแปลงเลสียรภาพเชิงมิติมากที่สุด และลดลงในเดือนที่ 2 และ 3 ตามลำดับ [10,11] ซึ่งพบว่า การเปลี่ยนแปลงเลสียรภาพเชิงมิติของฟันเทียมถ้ามีการเปลี่ยนแปลงน้อยกว่าร้อยละ 1 จะไม่ส่งผลกระทบต่อการแนบสนิทของฟันเทียมและผู้ป่วยจะไม่รู้สึกถึงความหลวมหาดของฟันเทียม [12] ถึงแม้การแขวนฟันเทียมในน้ำจะมีการเปลี่ยนแปลงในเชิงปริมาตร (volumetric deformation) ทำให้ปริมาตรของฟันเทียมเพิ่มขึ้นแต่ไม่ส่งผลกระทบในทางคลินิก [13]

ค่าแรงดัดของเรซินอะคริลิกเป็นสมบัติทางกล (mechanical properties) ของวัสดุที่นำมาใช้เป็นฐานฟันเทียม ซึ่งปัจจัยที่มีผลต่อค่าแรงดัดของเรซินอะคริลิก กระบวนการ

ขั้นรูปของอะคริลิก กระบวนการเกิดพอลิเมอร์ ปริมาณมอนомнอร์ที่หลงเหลืออยู่ภายในโครงสร้างของพอลิเมอร์ สารเสริมความแข็งแรง วัสดุดัดแทรกต่างๆ [14,15] ในบางการศึกษาพบว่า การแข็งของอะคริลิกในน้ำระระยะยาว ส่งผลทำให้ค่าแรงดัดของพอลิเมอร์ลดลงอย่างมีนัยสำคัญทางสถิติ เนื่องจากการแขวนน้ำในระยะยาว จะส่งผลทำให้สารประกอบภายในโครงสร้างพอลิเมอร์ เช่น มอนомнอร์ที่ไม่ทำปฏิกิริยา (unreacted monomer) หรือสารเสริมความอ่อนนุ่ม (plasticizers) มีการแพร่ออกมากลางแข็งเกิดซ่องว่างขนาดเล็ก ซึ่งซ่องว่างเหล่านี้ถูกแทนที่ด้วยโมเลกุลของน้ำที่แพร่กระจายเข้าสู่โครงสร้างพอลิเมอร์ส่งผลให้ความแข็งแรงของพอลิเมอร์ลดลง เพราะค่าแรงดัดระหว่างพันธะลดลง ร่วมกับการมีการเชื่อมต่อของโมเลกุลพอลิเมอร์ไม่ต่อเนื่องกันส่งผลให้ค่าแรงดัดของลดลง [16]

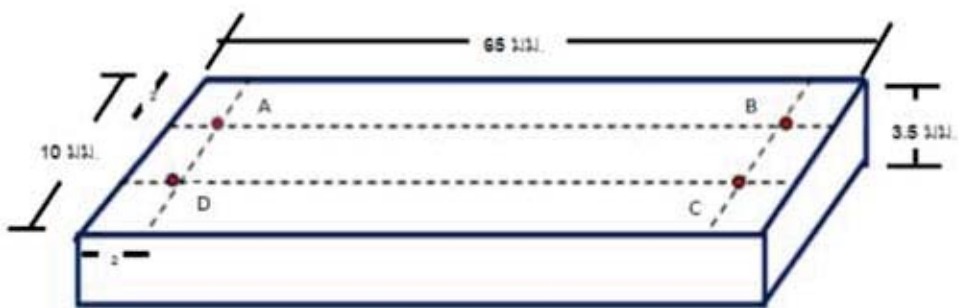
จากการศึกษาที่ผ่านมาพบว่ามีการประยุกต์ใช้ในการต้มอะคริลิก ระยะเวลาการต้ม และระยะเวลาการแขวน แต่การศึกษาที่ประยุกต์ใช้อุณหภูมิที่แตกต่างกันในการแขวนฟันเทียมนั้นมีไม่มาก ในการศึกษานี้ต้องการจำลองลักษณะการเก็บฟันเทียมที่อุณหภูมิแตกต่างกัน เช่น ในสภาพอากาศที่หนาวเย็นเป็นเวลานานในบางภูมิประเทศ หรือผู้ป่วยบางคนมีการเก็บฟันเทียมไว้ในรถเพื่อใช้ยามฉุกเฉิน หรือมีความเชื่อในการเก็บฟันเทียมชุดสำรองในตู้เย็นเพื่อรักษาสภาพฟันเทียม ซึ่งสถานการณ์ต่างๆ เหล่านี้ผู้ป่วยจะแขวนฟันเทียมในน้ำทึบไว้เป็นระยะเวลานาน งานวิจัยนี้จึงต้องการศึกษาผลของการแขวนน้ำที่อุณหภูมิแตกต่างกันที่มีต่อเลสียรภาพเชิงมิติ และค่าแรงดัดของฐานฟันเทียมเรซินอะคริลิกชนิดบ่มตัวด้วยความร้อน

วัสดุอุปกรณ์และวิธีการ

เตรียมแม่แบบสแตนเลสติลให้เป็นช่องขนาด 10x65x3.5 มิลลิเมตร [17] ตาม ISO 20795-1:2013 เพื่อเป็นแม่แบบ เมื่อได้ขึ้นรูปตามขนาดที่ต้องการ จึงนำไปลงแบบหล่อและนำไปลงในภาชนะหล่อแบบล้วนล่างด้วยปูนปลาสเตอร์ (Plaster of Paris) ตามวิธีดังเดิม

เมื่อปูนก่อตัวจึงทาสารคั่งกลางและเทปูนพลาสเตอร์ลงในภาชนะหล่อแบบส่วนบน เมื่อปูนพลาสเตอร์ก่อตัวทำการไล้ขี้ฟังและทำความสะอาด ผสมเรซินอะคริลิกชนิดบ่มด้วยความร้อน (Vertex Regular, Vertex-Dental B.V., Soesterberg, Netherlands) ผสมตามอัตราส่วนที่ผู้ผลิตแนะนำคือ ส่วนพง 2.2 กรัม : ส่วนเหลว 1 มิลลิลิตร รอจนระยะใด (dough stage) ประมาณ 30 นาที ที่อุณหภูมิ 22 องศาเซลเซียส ใส่อะคริลิกลงในภาชนะแบบหล่อของเหลือง และอัดทึบไว้ 60 นาที

แล่นนำไปต้มเริ่มจากอุณหภูมิ 20 องศาเซลเซียส จนถึง 100 องศาเซลเซียส โดยต้มที่ 100 องศาเซลเซียส เป็นเวลา 30 นาที รอให้เย็นที่อุณหภูมิห้อง จึงนำอะคริลิกออกจากภาชนะแบบหล่อของเหลือง ทำการแต่งอะคริลิกส่วนเกินออกด้วยหัวกรองcarri ใบดัดและขัดกระดาษทรายน้ำเบอร์ 800 และ 1000 ตามลำดับ จากนั้นกำหนดค่าทั้งหมด 4 จุด โดยให้แต่ละจุด ห่างจากขอบของชิ้นงานด้านละ 2 มิลลิเมตร ดังรูปที่ 1



รูปที่ 1 ขนาดชิ้นงานที่ทำการทดสอบ

Fig 1. Dimension of specimen.

วัดระยะระหว่างจุด AB, BD, DC, และ CA ด้วยกล้อง stereomicroscope (Stereo-microscope, รุ่น SZ61, Olympus, Japan) ซึ่งมีความละเอียด 0.001 มิลลิเมตร จากนั้นคำนวณค่าเวกเตอร์ตัวเลข (Numeric vectors) [18] จากสูตร Norm = $\sqrt{(AB^2+BD^2+DC^2+CA^2)}$

AB คือค่าระยะระหว่างจุด A และ B

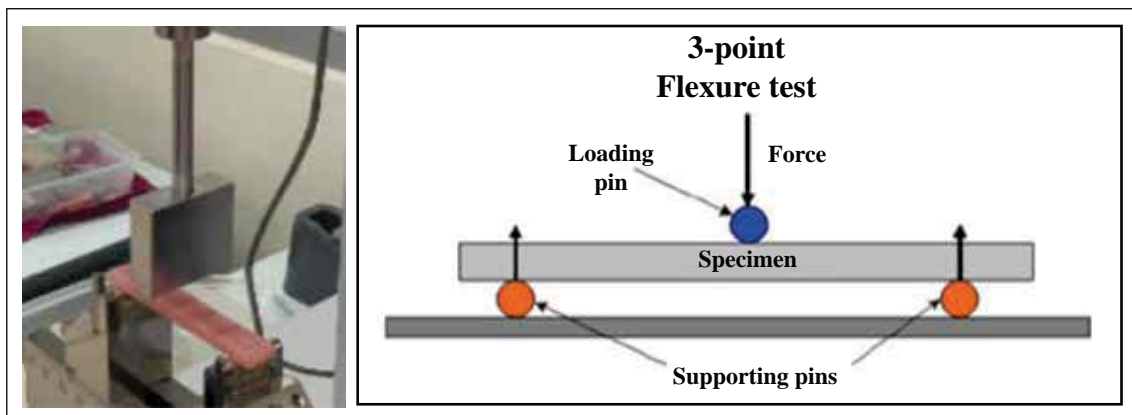
BD คือค่าระยะระหว่างจุด B และ D

DC คือค่าระยะระหว่างจุด D และ C

CA คือค่าระยะระหว่างจุด C และ A

เมื่อตัดแล้ว แยกชิ้นงานออกเป็น 3 กลุ่ม กลุ่มละ 15 ชิ้น และนำไปแข็งที่อุณหภูมิคงที่ 1 แข็งที่ อุณหภูมิ 5 องศาเซลเซียส กลุ่มที่ 2 และ 3 แข็งที่ อุณหภูมิ 37 และ 57 องศาเซลเซียสตามลำดับ เป็นเวลา 30 วัน จากนั้นนำชิ้นงานมาวัดระยะและคำนวณตามสูตรข้างต้น หลังจากนั้นนำมาระบุน้ำอุ่น 10 นาที แล้วนำกลับมาวัดระยะและคำนวณอีกครั้ง ทั้งนี้เพื่อตรวจสอบผลลัพธ์ที่ได้จากการทดสอบ ไม่ได้มาจากสาเหตุของชิ้นงาน แต่มาจากสาเหตุของเครื่องมือที่ใช้ 测量工具的影响。第三次测量是为了确保结果的准确性。

SHIMADZU, Japan) โดยใช้ความเร็วหัวกด (Cross head speed) 5 มิลลิเมตร/นาที ระยะห่างระหว่างหัวกด และชิ้นงาน 50 มิลลิเมตร บันทึกค่าสูงสุดที่ทำให้ชิ้นทดสอบแตกหักในหน่วยนิวตัน [19] ดังรูปที่ 2 จากนั้นนำค่าเฉลี่ยการเปลี่ยนแปลงเชิงมิติและค่าเฉลี่ย แรงดันของช่วงเวลาที่เปลี่ยนแปลงเชิงมิติ ด้วยการวิเคราะห์ความแปรปรวนทางเดียว (one-way ANOVA) ด้วยโปรแกรมสำหรับวิเคราะห์ANOVA (SPSS, Chicago, IL, USA) กำหนดค่านัยสำคัญที่ระดับความเชื่อมั่นร้อยละ 95



รูปที่ 2 ชิ้นงานทดสอบค่าแรงดัดของ [14]

Fig 2. Specimen test on flexural strength [14].

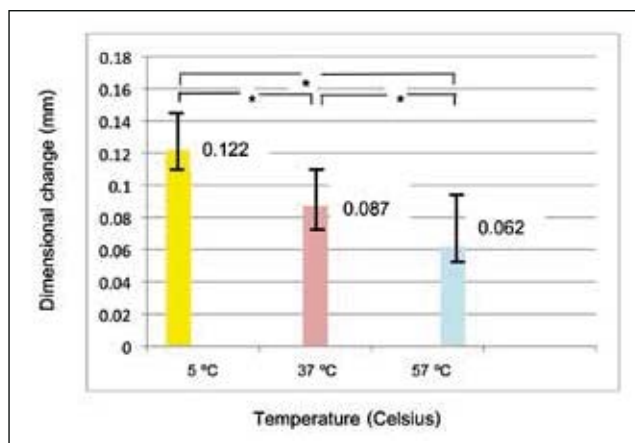
ผลการทดลอง

ผลการเปรียบเทียบเส้นยีราภาพเชิงมิติของการแข็งของเรซินอะคริลิกทั้ง 3 กลุ่ม ตามด้วยความร้อนที่อุณหภูมิ 57 องศาเซลเซียสค่าเฉลี่ยการเปลี่ยนแปลงเชิงมิติ น้อยที่สุด ดังตารางที่ 1

ตารางที่ 1 ค่าเฉลี่ย และส่วนเบี่ยงเบนมาตรฐาน ของการเปลี่ยนแปลงเชิงมิติของเรซินอะคริลิกทั้ง 3 กลุ่ม

Table 1. The mean values and Standard deviations of dimensional change of all 3 groups.

Temperature (Celsius)	N	Mean	Minimum	Maximum	Std. Deviation
5 °C	15	0.122	0.087	0.157	0.018
37 °C	15	0.087	0.050	0.120	0.022
57 °C	15	0.062	0.034	0.094	0.016



รูปที่ 3 ค่าเฉลี่ยการเปลี่ยนแปลงเชิงมิติของเรซินอะคริลิกทั้ง 3 กลุ่ม

I เส้นแนวตั้ง แสดงถึง ค่าส่วนเบี่ยงเบนมาตรฐานของแต่ละกลุ่ม

*แสดงความแตกต่างกันอย่างมีนัยสำคัญทางสถิติระหว่างกลุ่ม

Fig 3. The mean values of dimensional change of all 3 groups.

I Vertical line represents standard deviation in each groups.

*Statistically significant difference between groups.

เมื่อวิเคราะห์ทางสถิติด้วยสถิติความแปรปรวนทางเดียว (one-way ANOVA) และเปรียบเทียบ เชิงช้อนด้วยสถิติบอนเฟอรอนี (Bonferroni) พบว่า ทั้ง

สามกลุ่มมีค่าเฉลี่ยการเปลี่ยนแปลงเชิงมิติแตกต่างกันอย่างมีนัยสำคัญทางสถิติที่ระดับความเชื่อมั่นร้อยละ 95 ดังตารางที่ 2

ตารางที่ 2 การเปรียบเทียบเชิงช้อนด้วยสถิติบอนเฟอรอนี ((Bonferroni) แสดงค่าความแตกต่างของค่าเฉลี่ยและช่วงความเชื่อมั่นร้อยละ 95 ของการเปลี่ยนแปลงเชิงมิติของเรซินอะคริลิกทั้งสามกลุ่ม

Table 2. Comparison with Bonferroni test show mean different and 95% Confidence interval of dimensional change of all 3 groups.

Temperature (Celsius)	Temperature (Celsius)	Mean Difference	Std. Error	Sig.	95% Confidence Interval	
					Lower Bound	Upper Bound
5 °C	37 °C	0.035*	.007	.000	0.018	0.052
	57 °C	0.059*	.007	.000	0.042	0.077
37 °C	5 °C	-0.035*	.007	.000	-0.052	-0.018
	57 °C	0.024*	.007	.003	0.007	0.042
57 °C	5 °C	-0.059*	.007	.000	-0.077	-0.042
	37 °C	-0.024*	.007	.003	-0.042	-0.007

*แสดงความแตกต่างอย่างมีนัยสำคัญทางสถิติที่ระดับนัยสำคัญ 0.05

*The mean difference is significant at the 0.05 level.

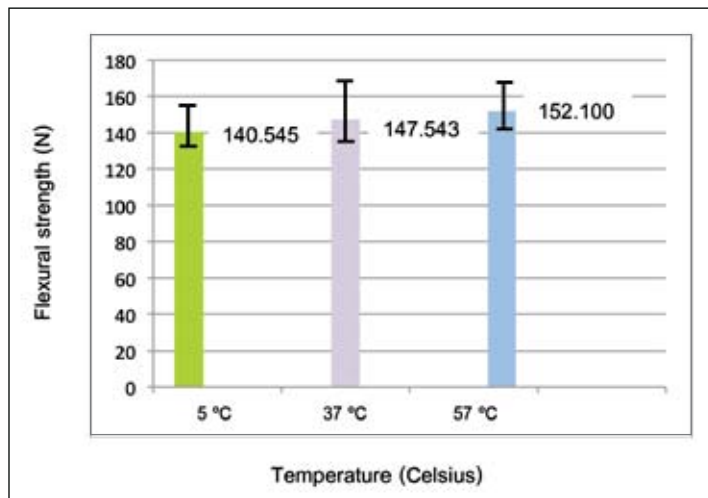
กลุ่มที่แข็งน้ำที่อุณหภูมิ 57 องศาเซลเซียส มีค่าความแข็งแรงดัดขาวมากที่สุดเมื่อเทียบกับกลุ่มที่แข็งน้ำที่อุณหภูมิ 5 และ 37 องศาเซลเซียส เมื่อนำมาใช้

สถิติวิเคราะห์ความแปรปรวนแบบทางเดียว พบว่าไม่มีความแตกต่างกันอย่างมีนัยสำคัญทางสถิติที่ระดับความเชื่อมั่นร้อยละ 95 ดังตารางที่ 3

ตารางที่ 3 ค่าเฉลี่ยและส่วนเบี่ยงเบนมาตรฐานของค่าแรงดัดขาวของเรซินอะคริลิกทั้ง 3 กลุ่ม

Table 3. Mean and standard deviations of flexural strength of acrylic resin 3 groups.

Temperature (Celsius)	N	Mean	Minimum	Maximum	Std. Deviation
5 °C	15	140.545	125.480	166.130	12.273
37 °C	15	147.543	123.950	189.237	16.626
57 °C	15	152.100	126.928	169.650	12.936



รูปที่ 4 ค่าเฉลี่ยแรงดัดขวางของเรซินอะคริลิกทั้ง 3 กลุ่ม¹ เส้นแนวตั้ง แสดงถึง ค่าส่วนเบี่ยงเบนมาตรฐานของแต่ละกลุ่ม

Fig 4. Mean values of dimensional change of acrylic resin 3 groups.

I Vertical line represents standard deviation in each groups.

บทวิจารณ์

จากการศึกษาได้พบว่า เมื่อนำเรซินอะคริลิกชนิดบ่มต่อไปแล้ว สามารถมีกระบวนการเกิดโพลิเมอร์ต่อไปได้ เป็นผลให้โครงสร้างภายในโพลิเมอร์แน่นขึ้น ทำให้เกิดการแทรกของโมเลกุลของน้ำได้ลดลง และอัตราการดูดน้ำลดลงตามด้วยเช่นกัน [30] บางการศึกษาพบว่า ถึงแม้อะคริลิกชนิดบ่มตัวด้วยความร้อนจะเกิดปฏิกิริยาค่อนข้างสมบูรณ์แต่ยังพบว่ามีปริมาณมอนโอมอร์ที่หลงเหลืออยู่ภายในโครงสร้างโพลิเมอร์หลังเสร็จสิ้นปฏิกิริยา [31]

จากการศึกษานี้พบว่า ค่าเฉลี่ยแรงดัดขวางของแต่ละกลุ่มมีค่าใกล้เคียงกัน โดยกลุ่มที่ เชื้อที่อุณหภูมิ 57 องศาเซลเซียสมีค่ามากที่สุด และกลุ่มที่ เชื้อที่อุณหภูมิ 5 องศาเซลเซียสมีค่าต่ำที่สุด อาจ เพราะที่อุณหภูมิ 57 องศาเซลเซียสมีปริมาณมอนโอมอร์ที่หลงเหลืออยู่น้อยกว่า แต่อย่างไรก็ตามเมื่อวิเคราะห์ทางสถิติพบว่า ไม่มีความแตกต่างกันอย่างมีนัยสำคัญทางสถิติ มีการศึกษา ก่อนหน้านี้พบว่า การแข็งของอะคริลิกในน้ำเป็นระยะเวลานานอาจส่งผลต่อสมบัติทางกลของโพลิเมอร์ได้ เพราะส่วนประกอบที่อยู่ภายในโครงสร้างโพลิเมอร์ เช่น มอนโอมอร์ที่ไม่เกิดปฏิกิริยา (unreacted monomers) สารเสริมความอ่อนนุ่ม (plasticizers) และสารตั้งต้น

(initiators) จะมีการแพร่ออกໄไป [7,32,33] จากโครงสร้างส่างผลให้เกิดช่องว่างขนาดเล็ก (microvoids) ภายในโครงสร้างและมีโมเลกุลของน้ำแทรกซึมเข้ามาแทนที่ และปฏิกิริยานี้จะเกิดต่อไปเรื่อยๆ จนถึงจุดสมดุล (equilibrium) ซึ่งการที่มีน้ำเข้าไปแทรกในโครงสร้างนี้ จะส่งผลทำให้โครงสร้างภายในพอลิเมอร์ไม่เป็นเนื้อเดียวกัน เพราะการเคลื่อนที่ของสายพอลิเมอร์มีหลาຍ ระดับ ทำให้ค่าความแข็งแรงของพอลิเมอร์ลดลงซึ่งจะส่งผลต่อสมบัติของอะคริลิกที่ใช้เป็นฐานฟันเทียม [19,30,32,34,35] พนว่าระยะเวลาการแข็งน้ำส่งผลต่อโครงสร้างพอลิเมอร์ แต่การศึกษานี้จำกัดระยะเวลา การแข็งฟันเทียมที่เท่ากันคือ 30 วัน ทำให้ค่าเฉลี่ย แรงดัดขวางแต่ละกลุ่มไม่มีความแตกต่างกันอย่างมีนัยสำคัญทางสถิติ และอาจเกิดจากอุณหภูมิที่ใช้ในการศึกษานี้ไม่สูงเพียงพอที่จะทำให้เกิดการเปลี่ยนแปลงโครงสร้างหรือกระทบต่อคุณสมบัติทางกลอย่างชัดเจน ซึ่งบางการศึกษาพบว่ากระบวนการต้มอะคริลิกทั้งอุณหภูมิและระยะเวลาที่ใช้ในการเกิดปฏิกิริยาของอะคริลิกชนิดบ่มตัวด้วยความร้อนส่งผลต่อคุณสมบัติทางกลของเรซินอะคริลิกมากกว่า [36,37] จากการศึกษานี้สามารถนำไปประยุกต์ทางคลินิกคือ ให้คำแนะนำแก่ผู้ป่วยในการเก็บรักษาฟันปลอมที่ถูกต้องในอุณหภูมิที่เหมาะสม ไม่ควรเก็บไว้ในที่ตู้เย็นหรือในที่ร้อนเกินไป เพราะอุณหภูมิที่ใช้แข็งฟันเทียมส่งผลต่อการเปลี่ยนแปลงเชิงมิติของฟันปลอมได้ แต่อย่างไรก็ตามควรมีการศึกษาต่อไปถึงคุณสมบัติของเรซินอะคริลิกชนิดบ่มตัวด้วยความร้อนหากแข็งที่อุณหภูมิที่สูงหรือต่ำกว่านี้ หรือระยะเวลาที่นานกว่านี้ เพื่อศึกษาผลของสมบัติทางกลได้ชัดเจนยิ่งขึ้น

บทสรุป

การแข็งอะคริลิกชนิดบ่มตัวด้วยความร้อนที่อุณหภูมิคงที่ที่ 5 37 และ 57 องศาเซลเซียสในระยะเวลา 30 วัน พนว่าค่าเฉลี่ยการเปลี่ยนแปลงเชิงมิติของอะคริลิกจากน้อยไปมาก ได้แก่ คือกลุ่มที่แข็งน้ำที่อุณหภูมิ 57 37 และ 5 องศาเซลเซียสตามลำดับและแต่ละกลุ่มมีความแตกต่างกันอย่างมีนัยสำคัญทางสถิติ

ที่ระดับความเชื่อมั่นร้อยละ 95 และเมื่อเปรียบเทียบค่าแรงดัดขวาง พบร่วมกันไม่มีความแตกต่างกันอย่างมีนัยสำคัญทางสถิติที่ระดับความเชื่อมั่นร้อยละ 95

เอกสารอ้างอิง

- Wong DM, Cheng LY, Chow TW, Clark RK. Effect of processing method on the dimensional accuracy and water sorption of acrylic resin dentures. *J Prosthet Dent* 1999; 81(3): 300-304.
- Darvell BW, Clark RK. The physical mechanisms of complete denture retention. *Br Dent J* 2000; 189(5): 248-252.
- Taylor PB. Acrylic resins: Their manipulation. *J Am Dent Assoc* 1941; 28(3): 373-387.
- De Gee AJ, ten Harkel EC, Davidson CL. Measuring procedure for the determination of the three-dimensional shape of dentures. *J Prosthet Dent* 1979; 42(2): 149-153.
- Peyton FA, Mann WR. Acrylic and acrylic styrene resins: Their procedures in relation to their uses as restorative materials. *J Am Dent Assoc* 1942; 29(15): 1852-1864.
- Skinner EW, Cooper EN. Physical properties of denture resins: part I. Curing shrinkage and water sorption. *J Am Dent Assoc* 1943; 30(6): 1845-1852.
- Vallittu PK, Miettinen V, Alakuijala P. Residual monomer content and its release into water from denture base materials. *Dent Mater* 1995; 11(6): 338-342.
- Sweeney WT, Paffenbarger GC, Beall JR. Acrylic resins for dentures. *J Am Dent Assoc* 1942; 29(1): 7-33.
- Lim SR, Lee JS. Three dimensional deformation of dry-stored complete denture base at room temperature. *J Adv Prosthodont* 2016; 8(5): 296-303.

10. Mowery, W. E., Burns, C. L., Dickson, G. and Sweeney, W. T. Dimensional stability of denture base resins. *J Am Dent Assoc* 1958; 57(3): 345-353.
11. Mirza FD. Dimensional stability of acrylic resin dentures. *J Prosthet Dent* 1961; 11(5): 848-857.
12. Woelfel JB, Paffenbarger GC, Sweeney WT. Changes in dentures during storage in water and in service. *J Am Dent Assoc* 1961; 62(6): 643-657.
13. Consani RL, Monterio VL, Mesquita MF, Consani S. The influence of storage on dimensional changes in maxillary acrylic denture bases and the effect on tooth displacement. *Eur J Prosthodont Restor Dent* 2011; 19(7): 105-110.
14. Gharechahi J, Asadzadeh N, Shahabian F, Gharechahi M. Flexural strength of acrylic resin denture bases processed by two different methods. *J Dent Res Dent Clin Dent Prospects* 2014; 8(3): 148-152.
15. Harrison A, Huggett R. Effect of the curing cycle on residual monomer levels of acrylic resin denture base polymers. *J Dent* 1992; 20(6): 370-374.
16. Takahashi Y, Hamanaka I, Shimizu H. Flexural properties of denture base resins subjected to long-term water immersion. *Acta Odontol Scand* 2013; 71(3): 716-720.
17. Dixon DL, Fincher M, Breeding LC, Mueninghoff LA. Mechanical properties of a light-polymerizing provisional restorative material with and without reinforcement fibers. *J Prosthet Dent* 1995; 73(6): 510-514.
18. O'Toole TJ, Furnish GM, Von Fraunhofer JA. Linear distortion of acrylic resin. *J Prosthet Dent* 1985; 53(1): 53-55.
19. Machado AL, Puckett AD, Breeding LC, Wady AF, Vergani CE. Effect of thermocycling on the flexural and impact strength of urethane-based and high-impact denture base resin. *Gerodontology* 2012; 29(2): 318-323.
20. Braun KO, Mello JA, Rached RN, Del Bel Cury AA. Surface texture and some properties of acrylic resins submitted to chemical polishing. *J Oral Rehabil* 2003; 30(1): 91-98.
21. Arab J, Newton JP, Lloyd CH. The effect of elevated level of residual monomer on the whitening of denture base and its physical properties. *J Dent* 1989; 17(4): 189-194.
22. Lee SY, Lai YL, Hsu TS. Influence of polymerization conditions on monomer elution and microhardness of autopolymerization polymethyl methacrylate resin. *Eur J Oral* 2002; 110(2): 179-183.
23. Gettleman L, Phoenix RD, Rawls HR. Prosthetic polymers and resins. In: Anusavice KJ, Shen C, Rawls HR, editors. *Phillips' science of dental materials*. 12th ed. St. Louis (MO): Sanders; 2013. p. 474-498.
24. Yoshida K, Takahashi Y, Sasaki H, Hamanaka I, Kawaguchi T. Flexural strength strengths of reinforced denture base resins subjected to long-term water immersion. *Acta Odontol Scand* 2016; 2(1): 20-24.
25. Arima T, Murata H, Hamada T. The effects of cross-linking agents on the water sorption and solubility characteristics of denture base resin. *J Oral Rehabil* 1996; 23(7): 476-480.
26. Unemori M, Matsuya Y, Matsuya S, Akashi A, Akamine A. Water absorption of poly(methyl methacrylate) containing 4-methacryloxyethyl trimellitic anhydride. *Biomaterials* 2003; 24(8): 1381-1387.

27. Bayraktar G, Guvener B, Bural C, Uresin Y. Influence of polymerization method, curing process, and length of time of storage in water on the residual methyl methacrylate content in dental acrylic resins. *J Biomed Mater Res B* 2006; 76(2): 340-345.
28. Pfeiffer P, Rosenbauer EU. Residual methyl methacrylate monomer, water sorption, and water solubility of hypoallergenic denture base materials. *J Prosthet Dent* 2004; 92(1): 72-78.
29. Lamb DJ, Ellis B, Priestley D. The effects of process variables on levels of residual monomer in autopolymerizing dental acrylic resin. *J Dent* 1983; 11(1): 80-88.
30. Ogawa T, Tanaka M, Koyano K. Effect of water temperature during polymerization on strength of autopolymerizing resin. *J Prosthet Dent* 2000; 84(2): 222-224.
31. Kedjarune U, Charoenworaluk N, Koontongkaew S. Release of methyl methacrylate from heat-cured and autopolymerized resin: cytotoxicity testing related to residual monomer. *Aust Dent J* 1999; 44(1): 25-30.
32. Takahashi Y, Chai J, Kawaguchi M. Equilibrium strengths of denture polymers subjected to long-term water immersion. *Int J Prosthodont* 1999; 12(4): 348-352.
33. Arima T, Murata H, Hamada T. Properties of highly cross-linked autopolymerizing reline acrylic resins. *J Prosthet Dent* 1995; 73(1): 55-59.
34. Takahashi Y, Kawaguchi M, Chai J. Flexural strength at the proportional limit of a denture base material relined with four different denture reline materials. *Int J Prosthodont* 1997; 10(6): 508-512.
35. Miettinen VM, Valittu PK, Docent DT. Water sorption and solubility of glass fiber-reinforced denture polymethyl methacrylate resin. *J Prosthet Dent* 1997; 77(5): 531-534.
36. Takahashi Y, Chai J, Kawaguchi M. Effect of water sorption on the resistance to plastic deformation of a denture base material relined with four different denture reline materials. *Int J Prosthodont* 1998; 11(1): 49-54.
37. Dogan A, Bek B, Cevik NN, Usanmaz A. The effect of preparation conditions of acrylic denture base materials on the level of residual monomer, mechanical properties and water absorption. *J Dent* 1995; 23(5): 313-318.

ຕິດຕໍ່ອົບທຄວາມ:

ອ.ທພນ.ຈິວງູ້ ຄວේຫັດຈາດ
ຄະນະທັນຕະເພທຍຄາສຕົ່ງ ມາຮວິທາຍາລ້ຽງສີຕ
52/347 ຕ.ຫລັກທກ ອ.ເມືອງ ຈ.ປຸມຫານີ 12000
ໂທຮັບທີ 02-997-2200-30 ຕ່ອ 4269
ສໍານັກງານ ຕ່ອ 4312 4323 4315
ໂທສາຮ 02-997-2200-30 ຕ່ອ 4321
ຈົດໝາຍອີເລັກທຣອນິກສ ningjirat@gmail.com

Corresponding author:

Dr.Jirat Srihatajati
Faculty of Dental Medicine, Rangsit University,
52/347 Muang-Ake, Phaholoyothin Rd., Lak-Hok,
Muang, Pathumthani 12000 Thailand
Tel: 02-997-2200-30 ext. 4269
office ext. 4312, 4323, 4315
Fax: 02-997-2200-30 ext. 4321
E-mail: ningjirat@gmail.com